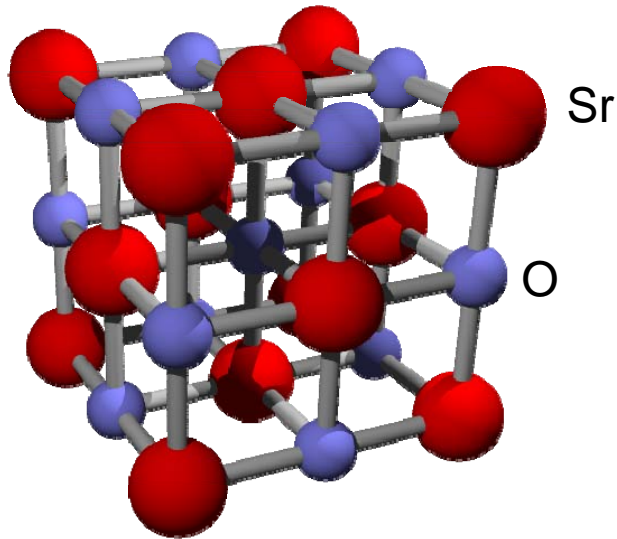


Arbeitsgebiete AG Pfnür

1. Epitaktische Isolatorschichten
2. Neuartige
Strukturierungsverfahren
3. Metallische Nanodrähte
4. Molekulare Elektronik

Ultradünne, kristalline dielektrische Schichten: die Suche nach neuen Gate-Dielektrika

SrO



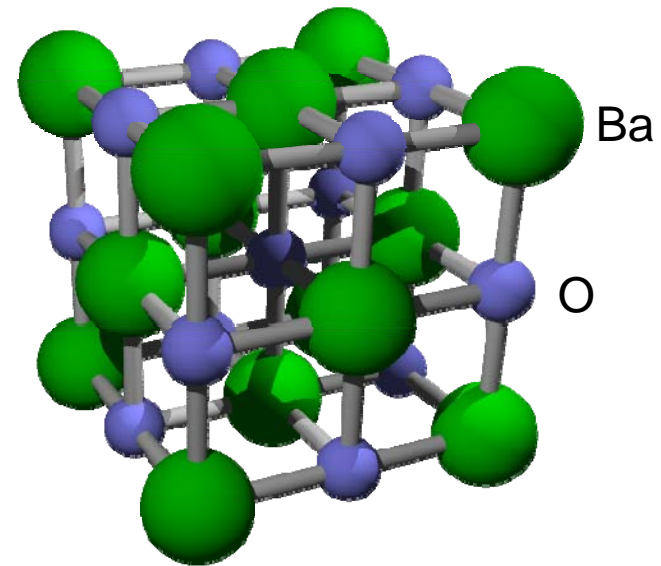
$$a_0 = 5.16 \text{ \AA}$$

$$\epsilon_r = 13.3$$

$$E_G = 6.4 \text{ eV}$$

NaCl-lattice

BaO



$$a_0 = 5.54 \text{ \AA}$$

$$\epsilon_r = 34$$

$$E_G = 4.4 \text{ eV}$$

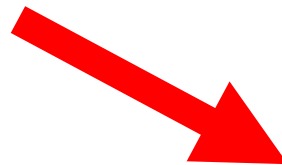
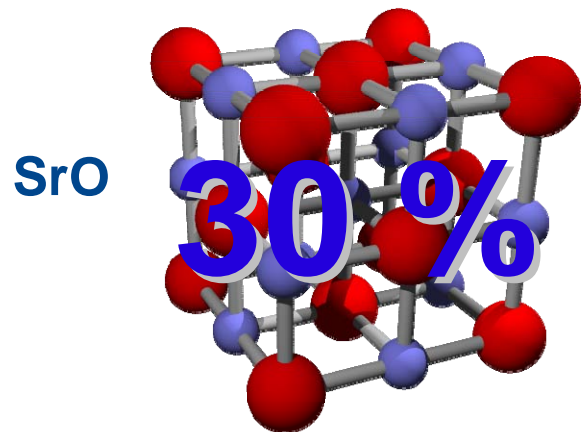
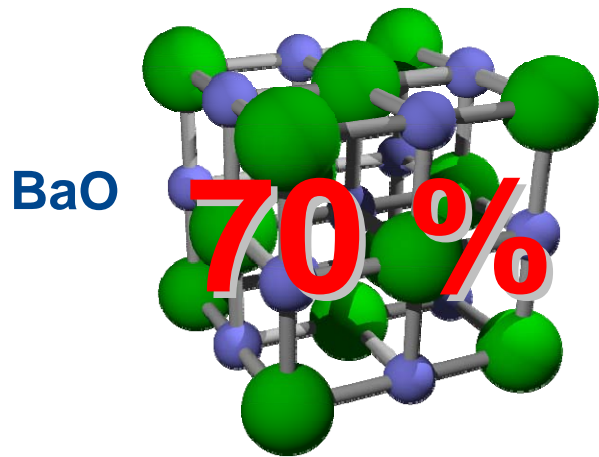
NaCl-lattice

$$a_0 (\text{Si}) = 5.43 \text{ \AA}$$

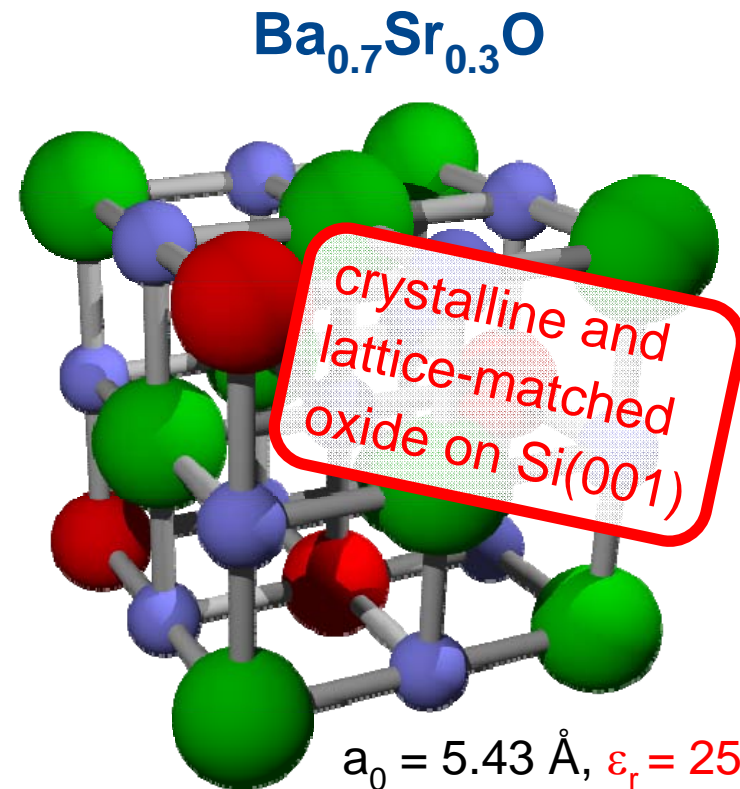
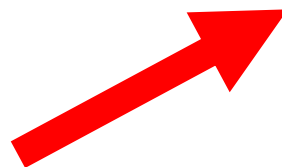
$$\epsilon_r (\text{SiO}_2) = 3.9$$

$$E_G (\text{SiO}_2) = 8.9 \text{ eV}$$

amorphous (SiO₂)



mixing

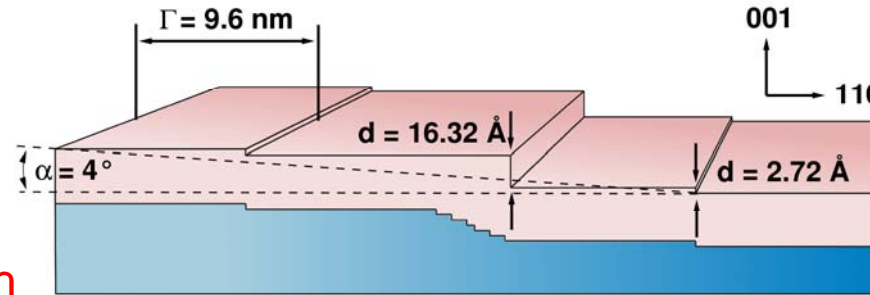


$a_0 = 5.43 \text{ \AA}$, $\epsilon_r = 25-30$,
 $E_G = 4.3 \text{ eV}$, NaCl lattice

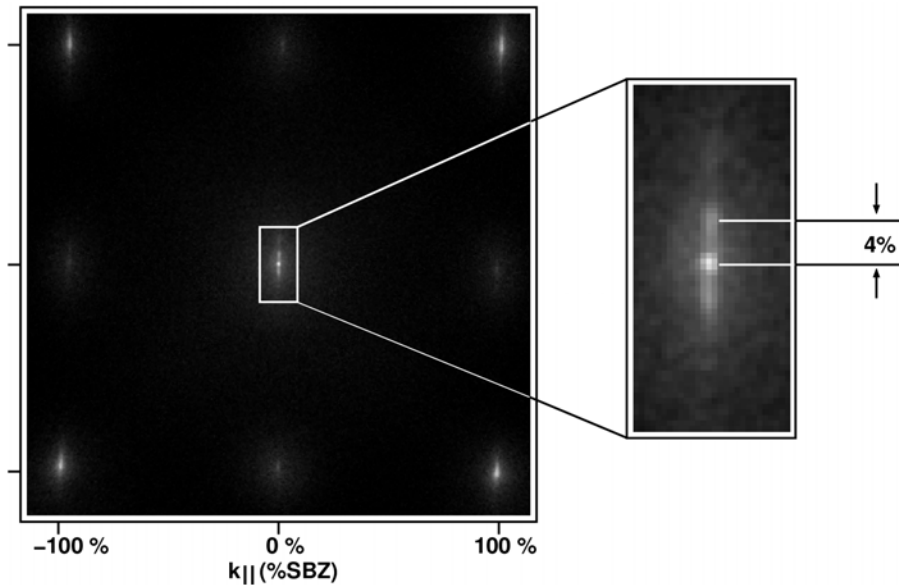
Growth of vicinal BaO/SrO layers

10ML Ba_{0.7}Sr_{0.3}O

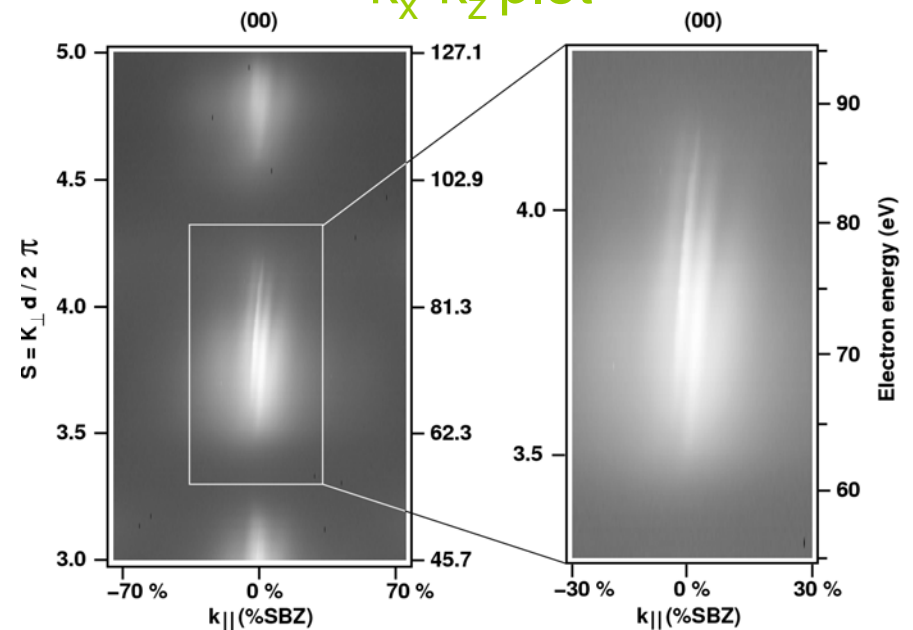
- (nominally) polar step formation
- critical step density for overgrowth of steps



k_x - k_y plot



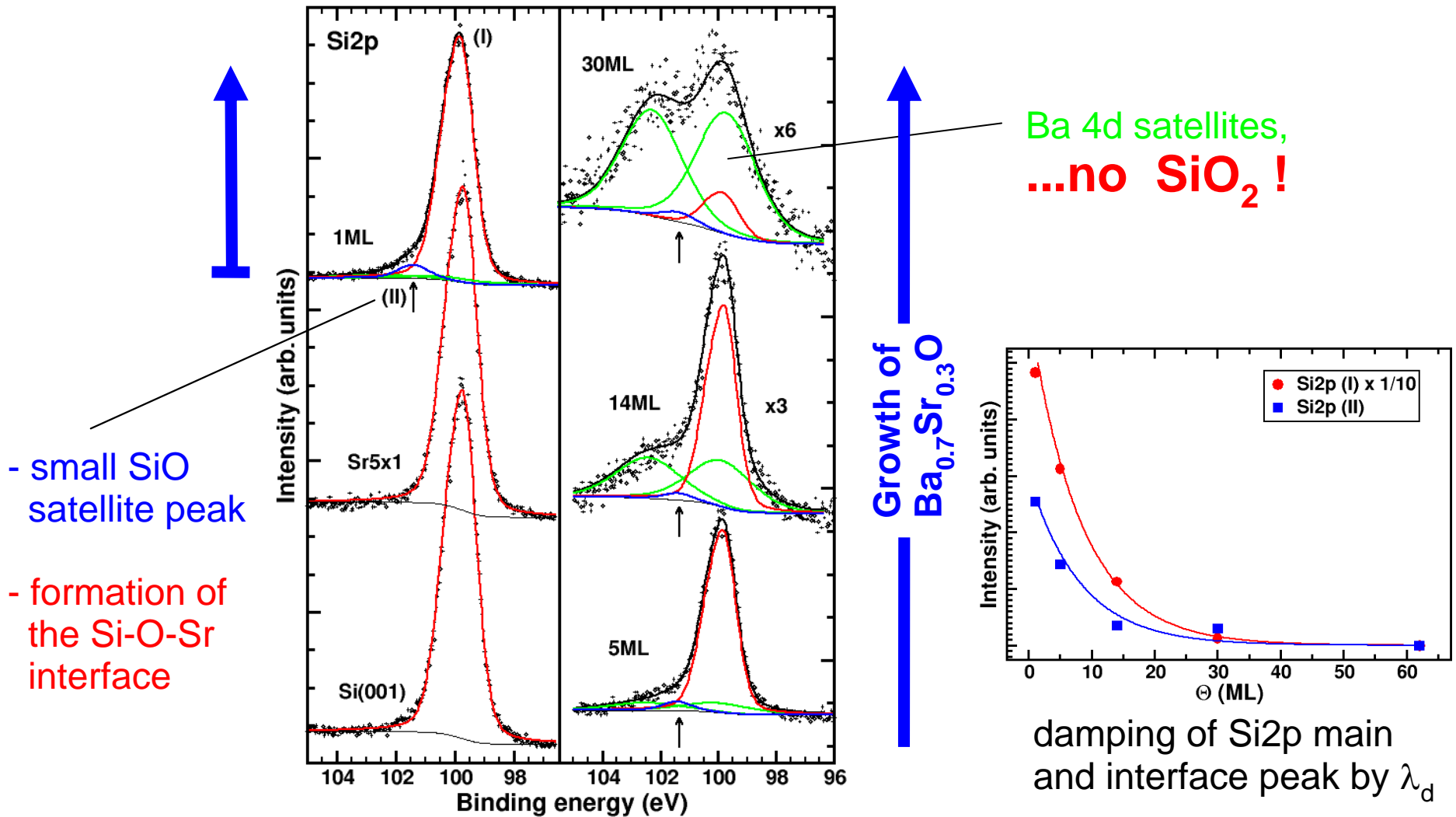
k_x - k_z plot



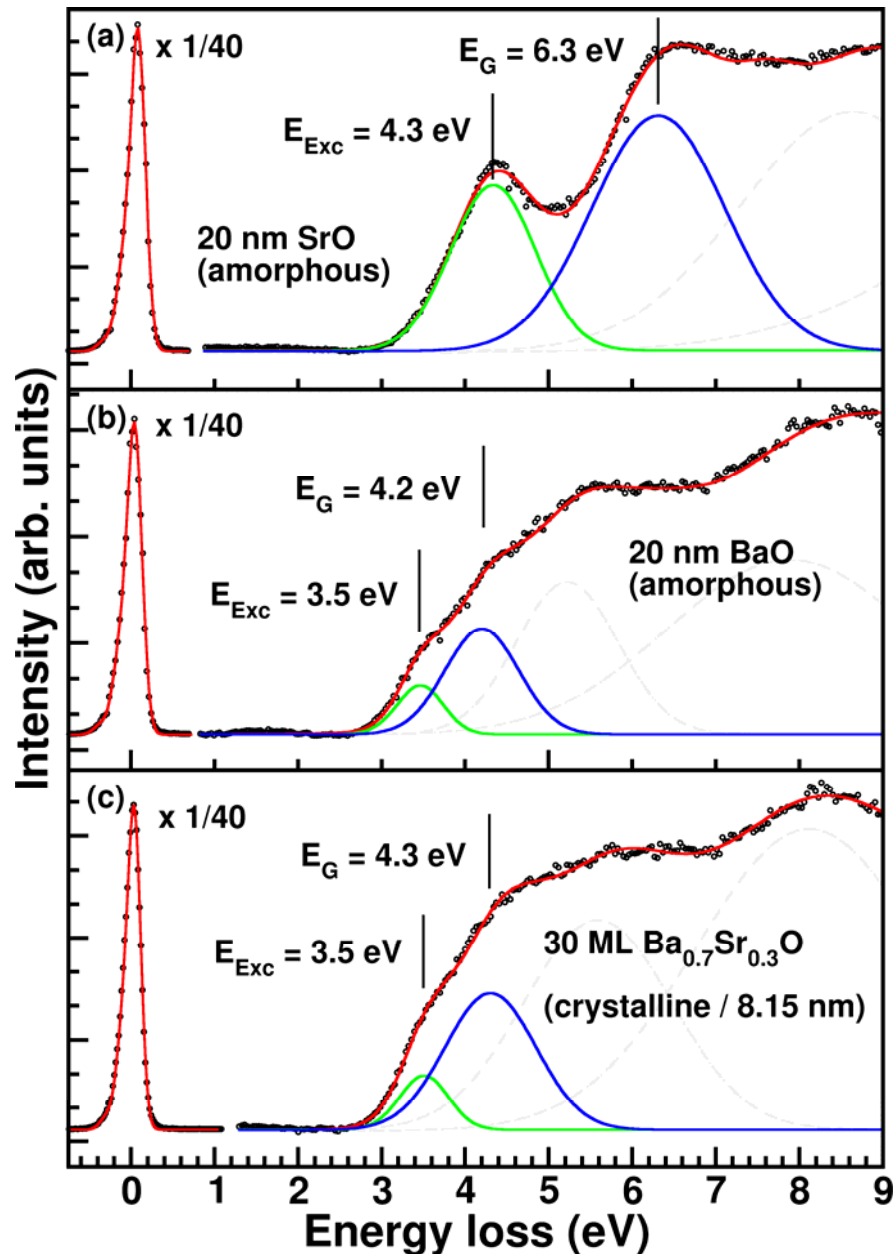
J. Zachariae and H. Pfnür, Surf. Sci. 600 (2006) 2785

Chemical analysis of the interface

XPS-measurement of the Si2p-spectra

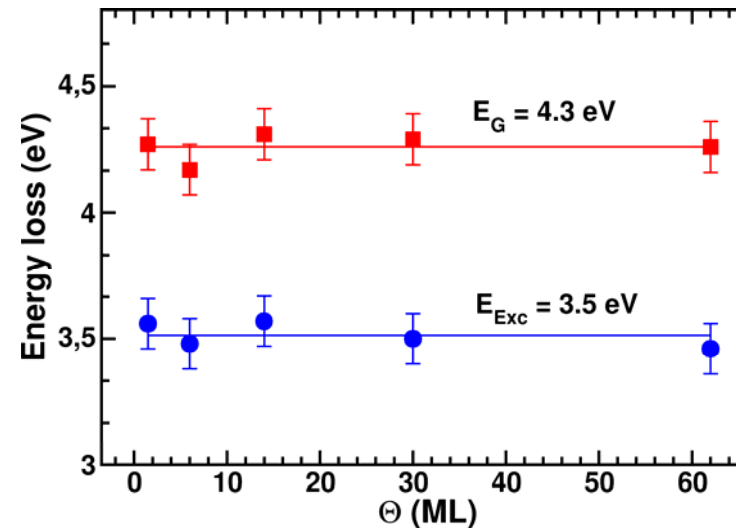


Electronic structure: Band gap and excitonic



EELS-spectra of band gap and excitonic structure

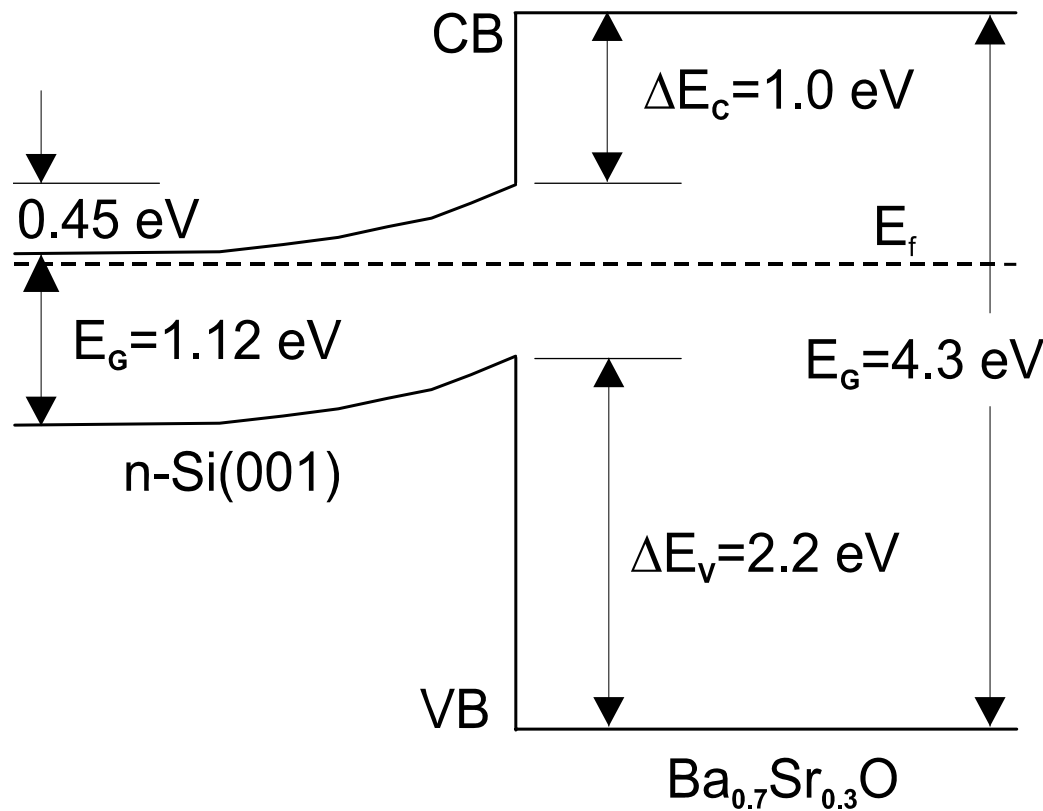
Independence of $\text{Ba}_{0.7}\text{Sr}_{0.3}\text{O}$ band gap width on layer thickness



4.3 eV from 1 ML \rightarrow 17 nm and more

Electronic structure: Band gap and excitonic

Band alignment depending on the kind of interface



Intermediate layer 1.2 ML Sr

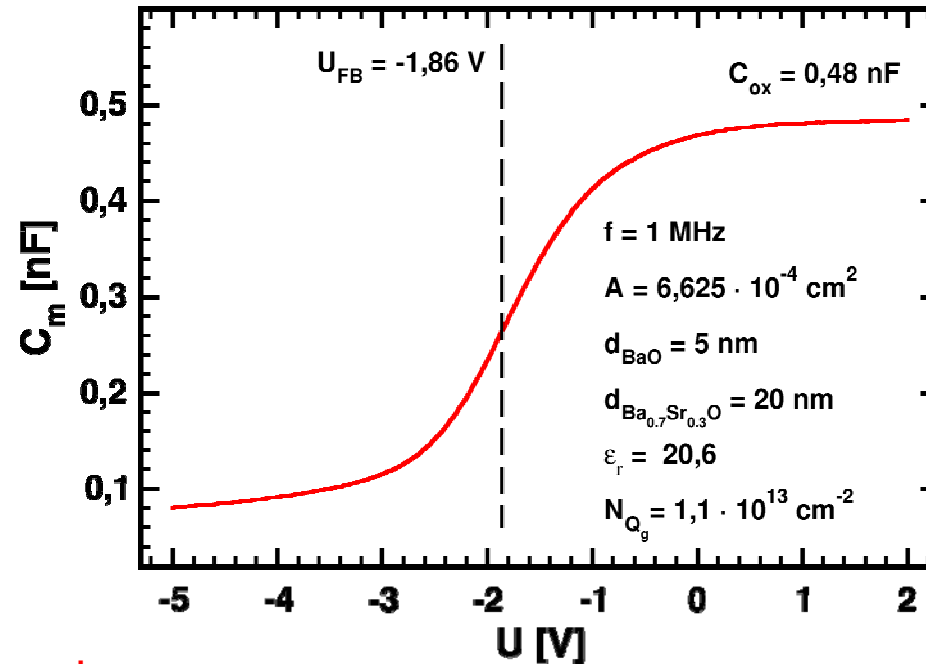
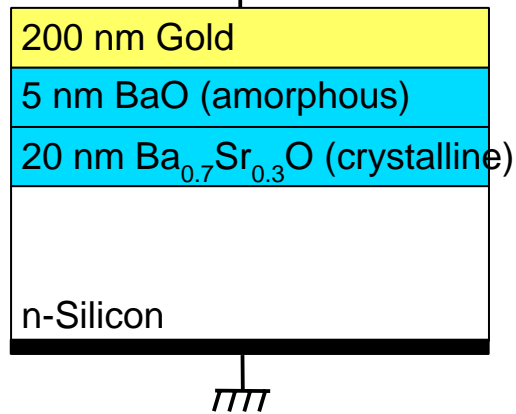
- band bending of n-Si(001) surface decreased by 0.09 eV
- but still depletion in silicon

Θ_I	ΔE_v	ΔE_c
1.2 ML Sr	2.2	1.0
1 ML Sr	2.1	1.1
1 ML Ba	1.8	1.4

Tunable band alignment by different intermediate layer !

Electrical characterization

C-V- measurements



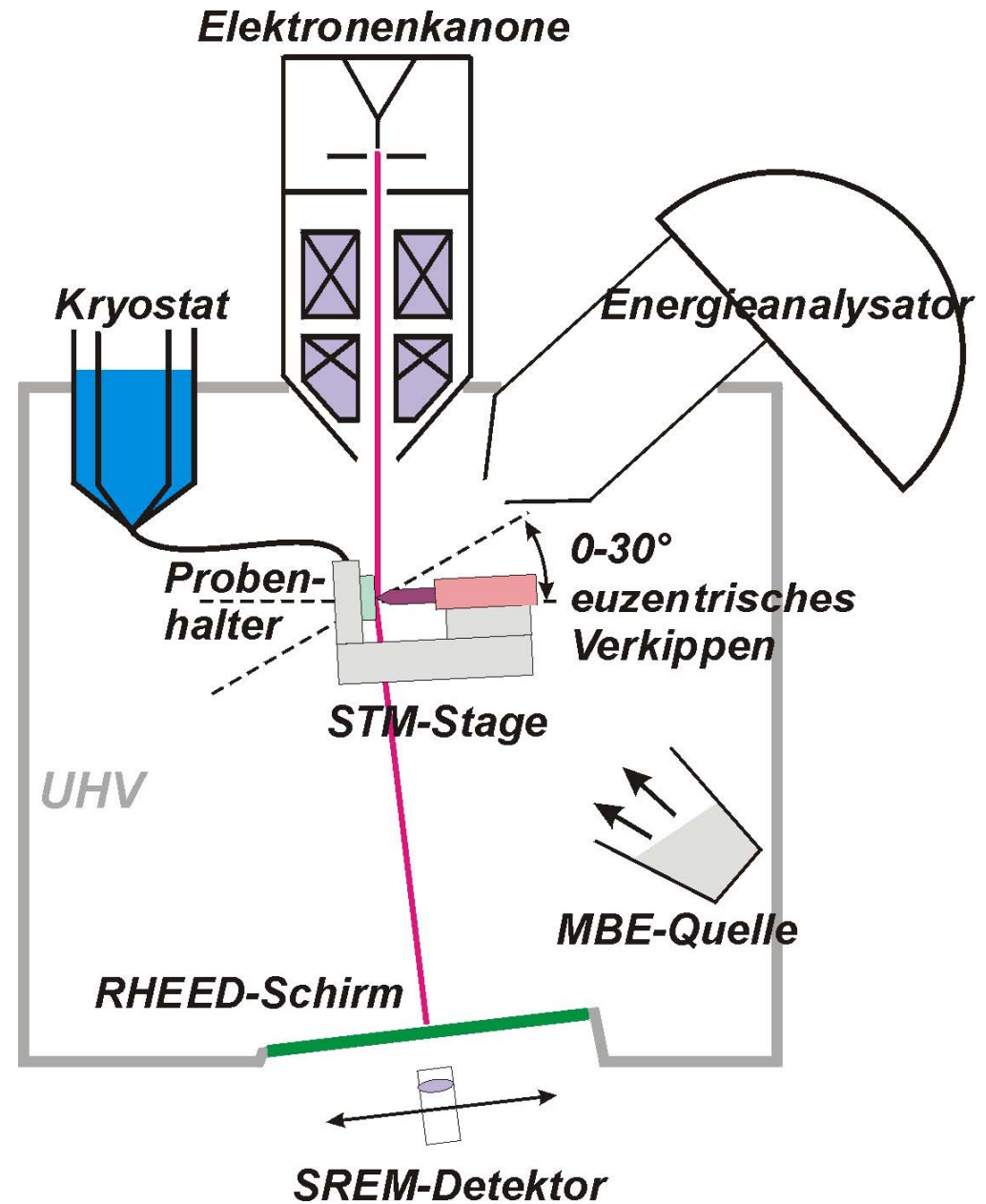
$\epsilon_r = 20,6$ from capacity at inversion

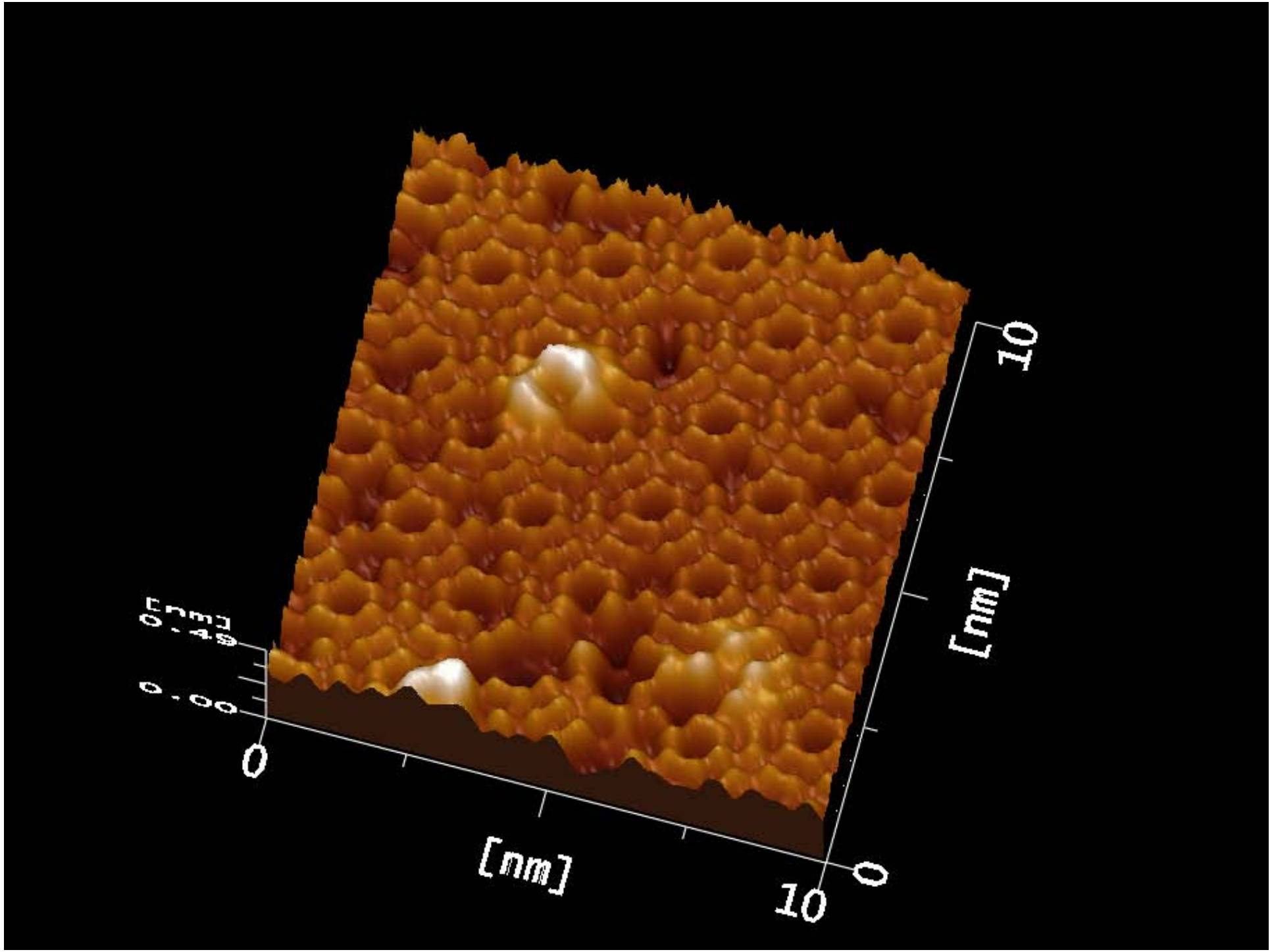
high charge density in oxide $1,1 \cdot 10^{12} \text{ cm}^{-2}$

gradual increase → high surface state density D_{it}

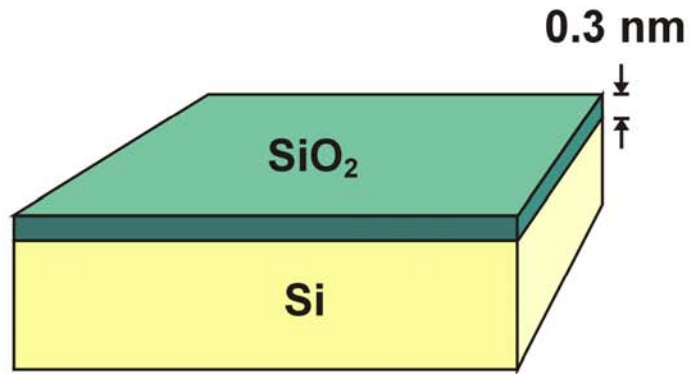
small hysteresis → low density of mobile charges in oxide

Neuartige Strukturierungs- verfahren: SEM + STM im UHV

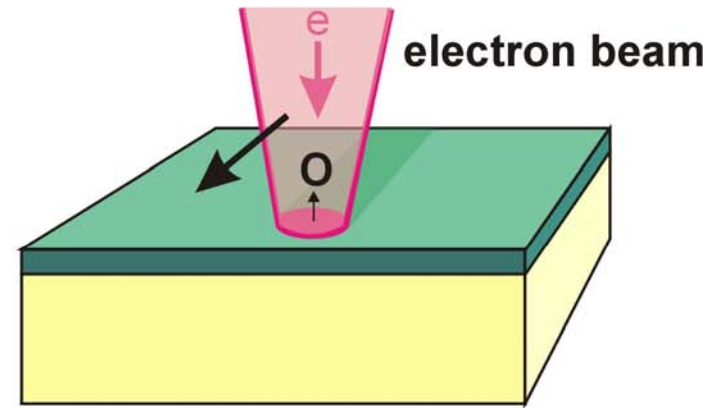




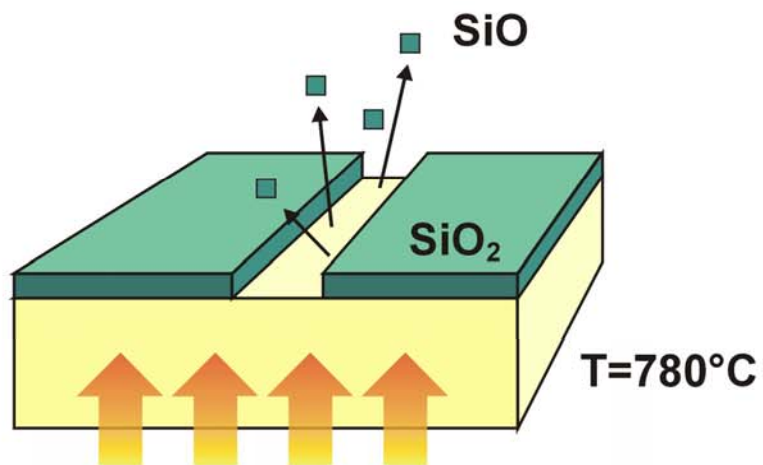
1)



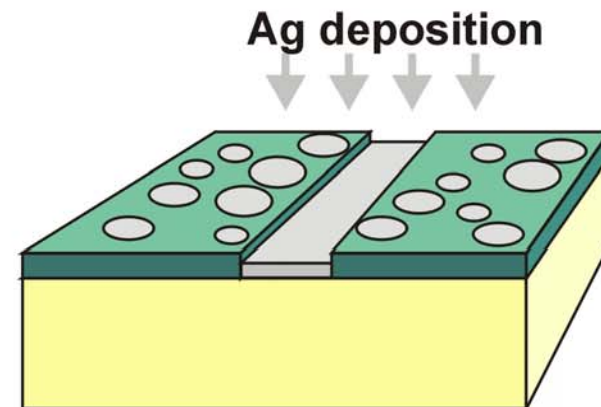
2)



3)

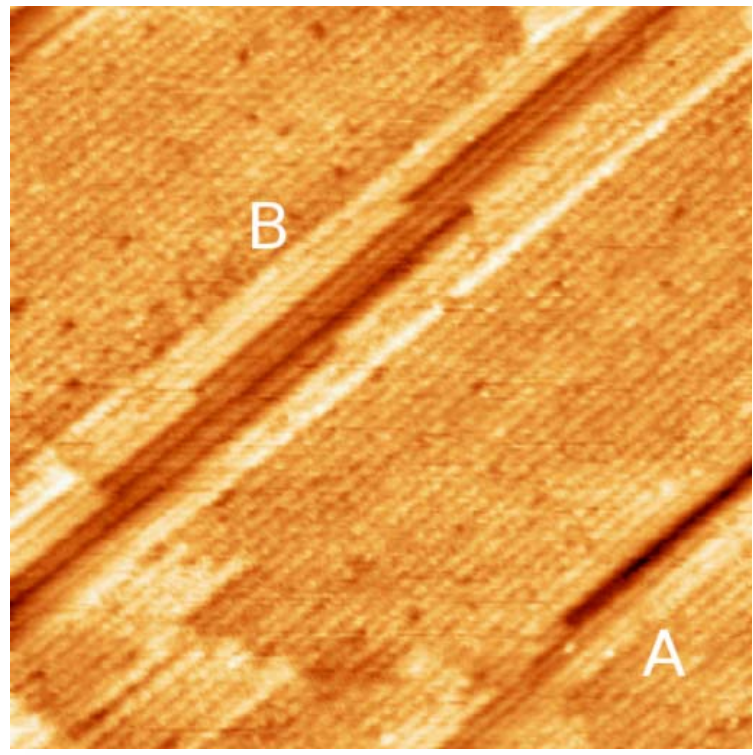


4)



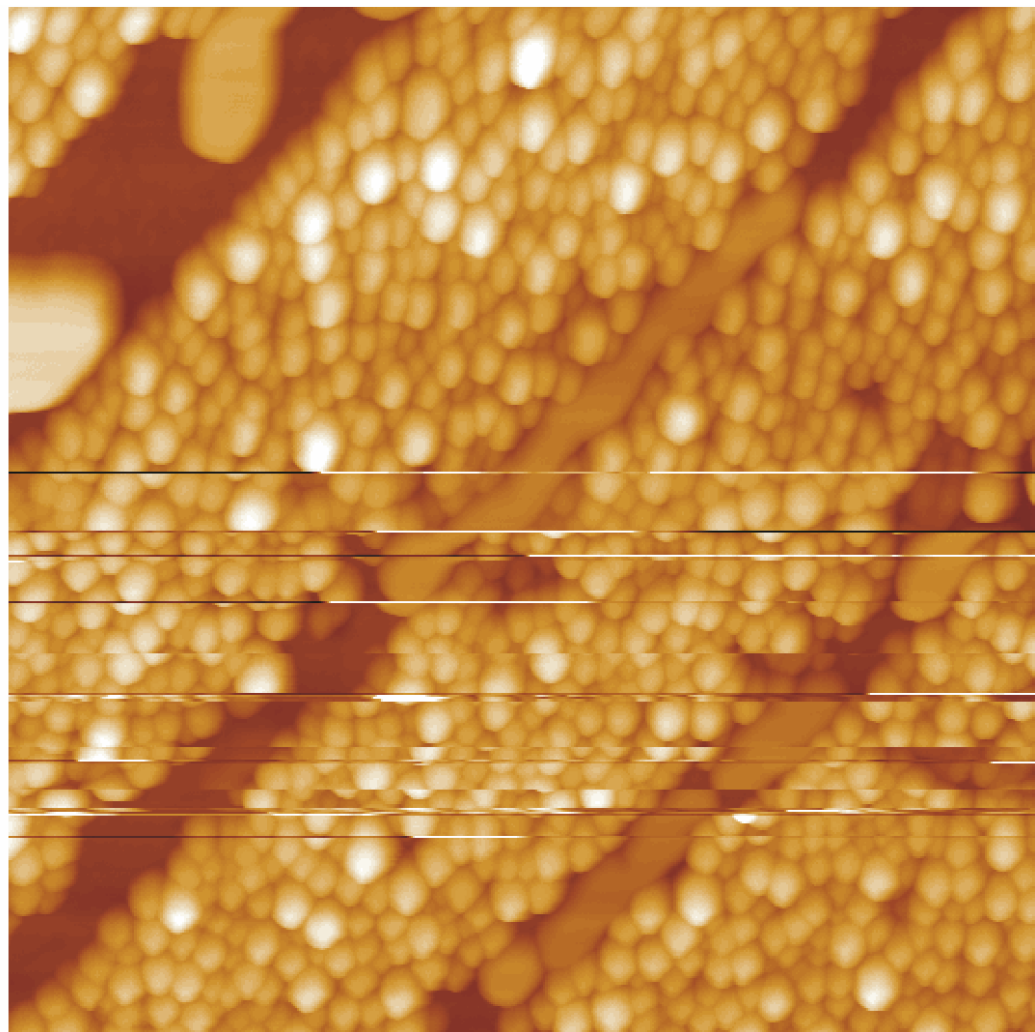
Kombination mit gestufter Fläche

a)

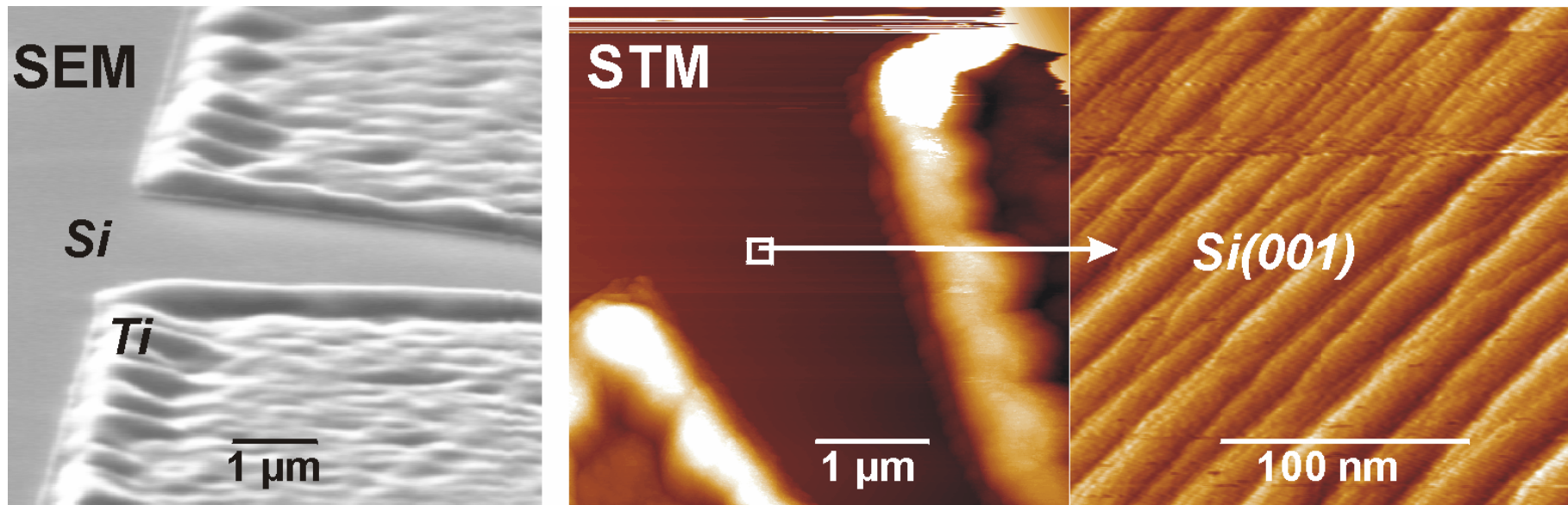


100 nm

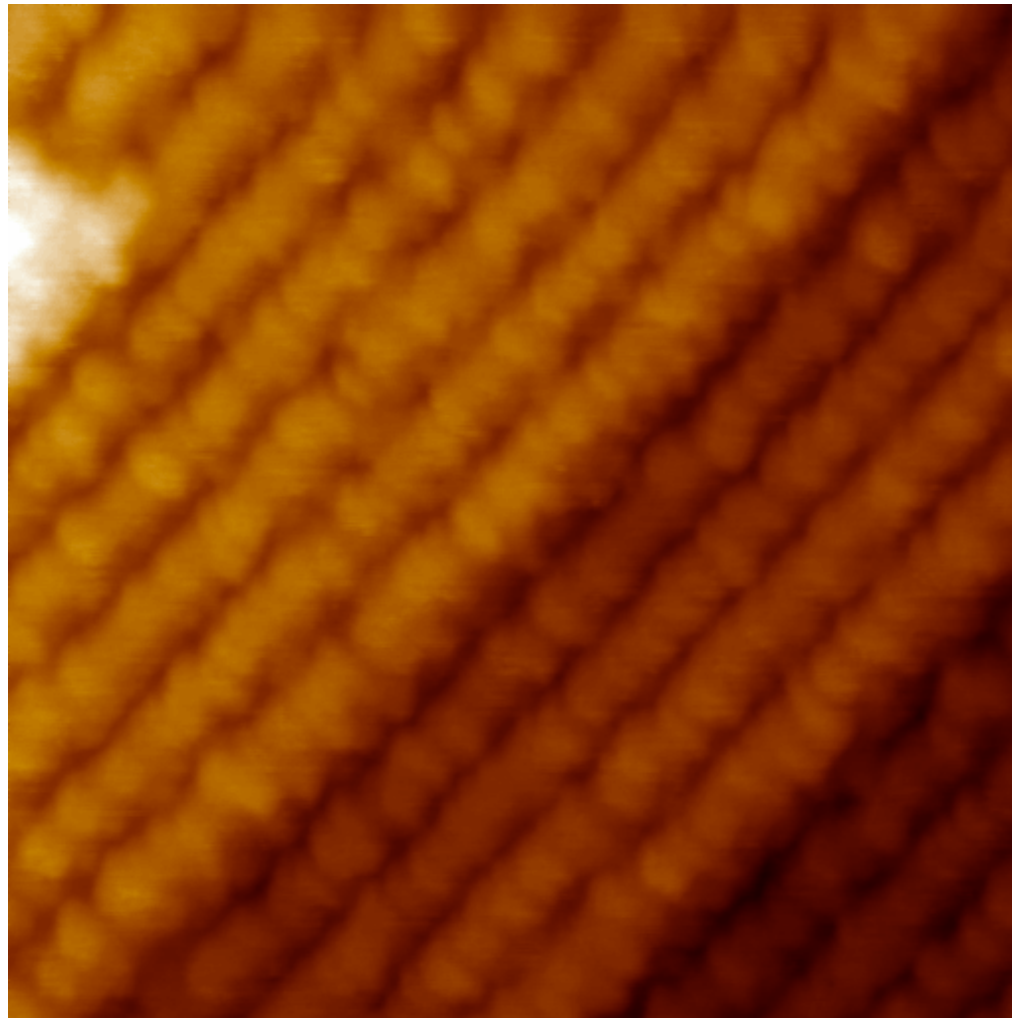
b)



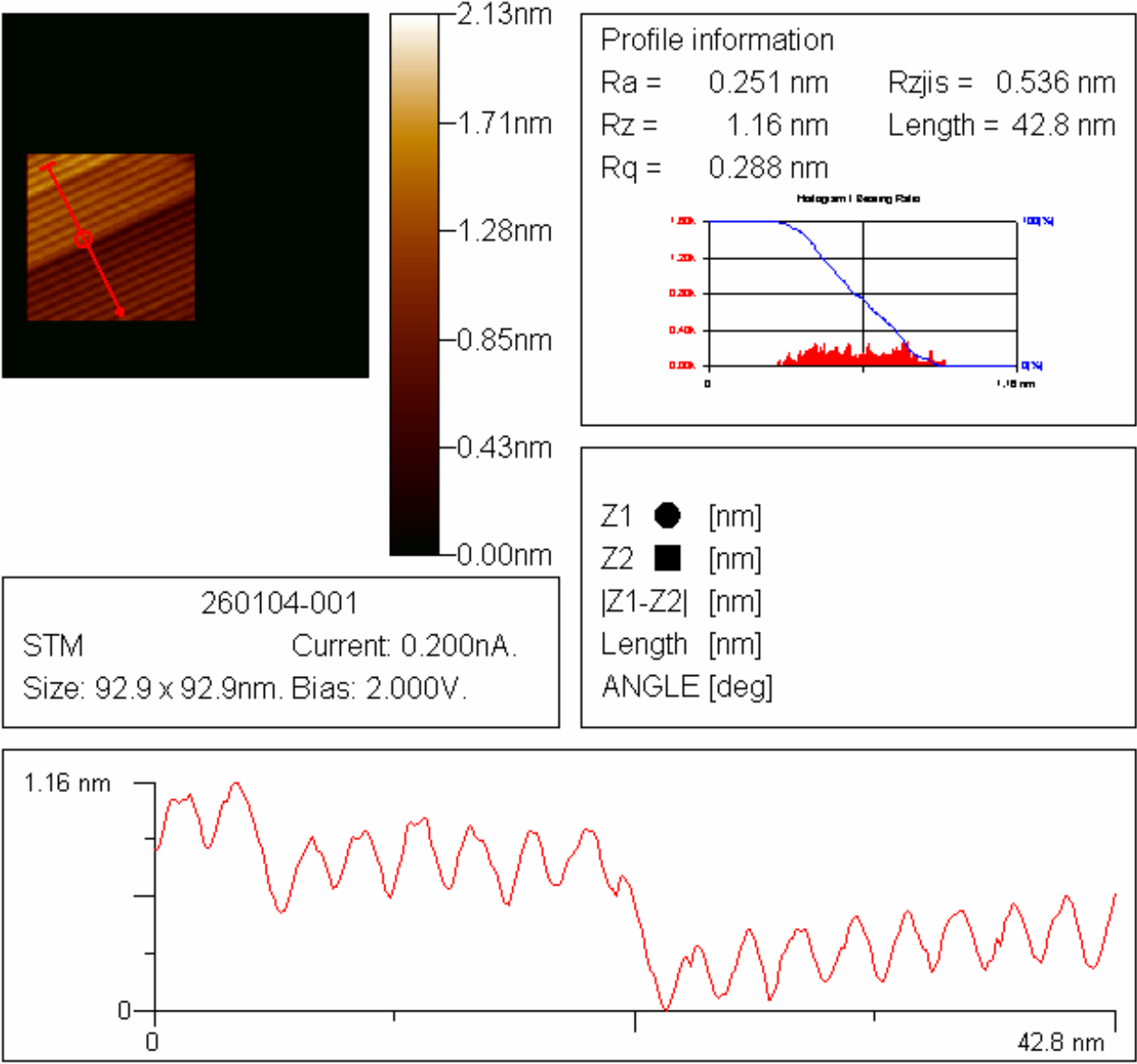
TiSi contact pads



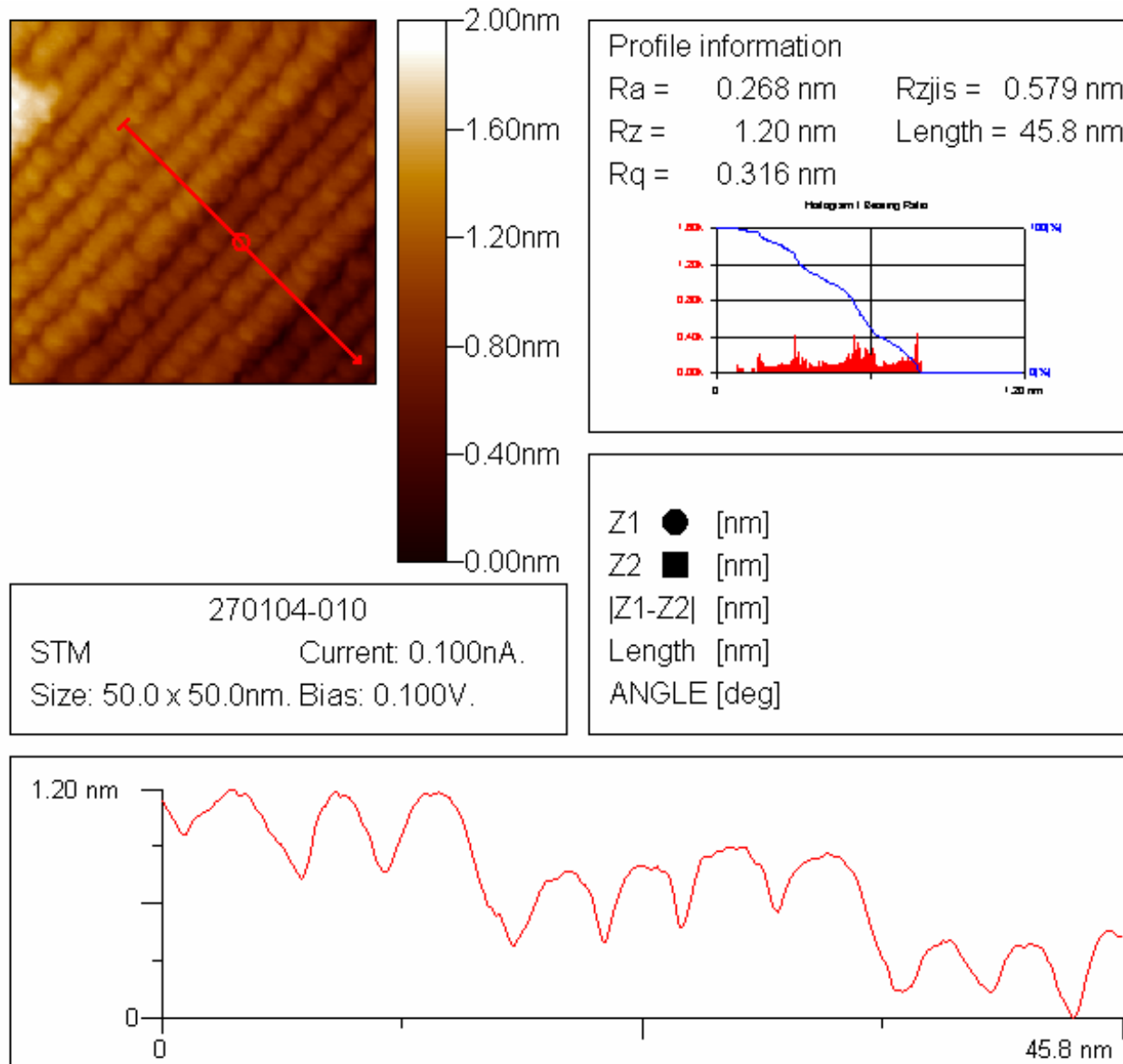
Kombination mit Selbstorganisation:
Blei auf Si(557)



Umordnung der Fläche durch Bleiadsorption

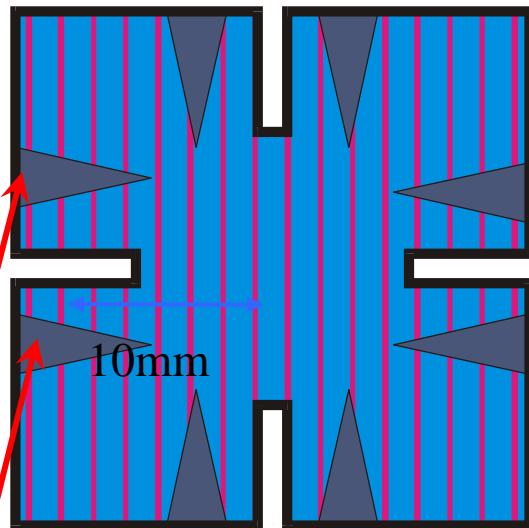


Umordnung der Fläche durch Bleiadsorption



Macroscopic dc measurement

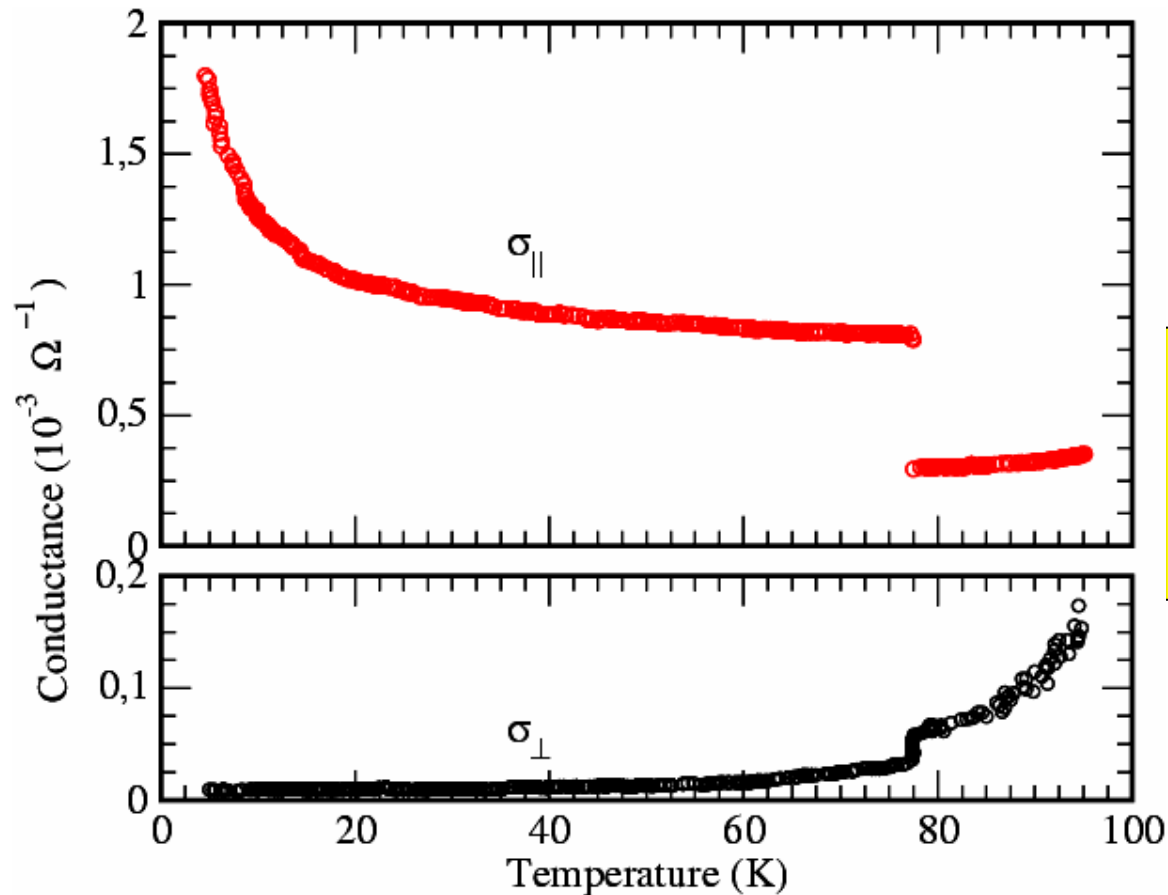
modified
v.d.Pauw geometry



TiSi₂ contacts

Measurements
parallel and
perpendicular to
step edges

High temperature annealing (T= 640 K)



$\Theta \sim 1$ ML left

Phase transition at 78K:
switching from small to
large anisotropy

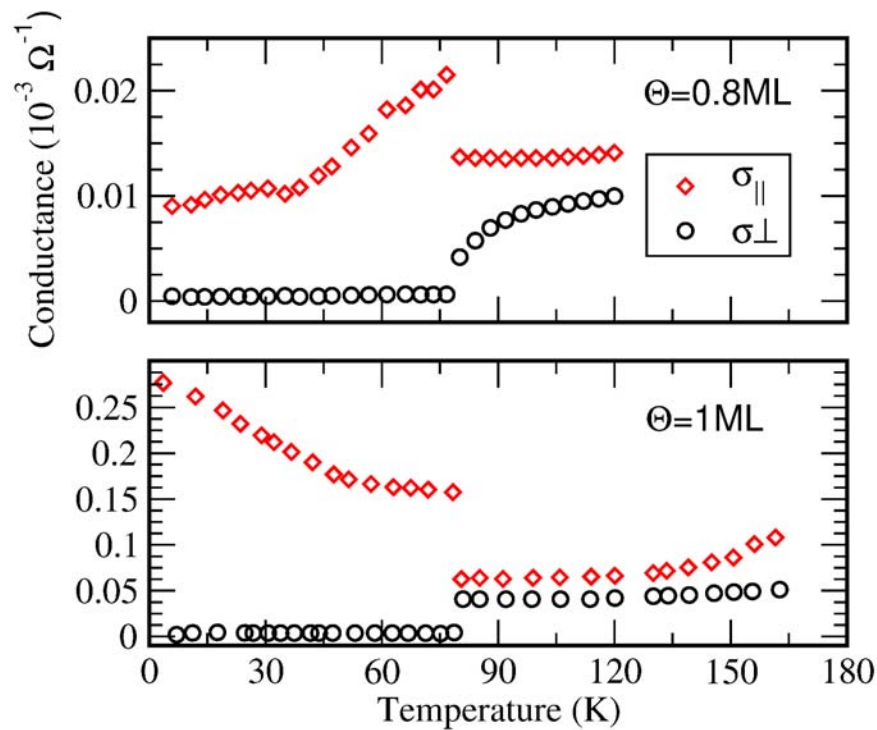
σ_{\parallel} large:
Conductance in surface
state
Defects unimportant

Transport: Localization due to Fermi-nesting

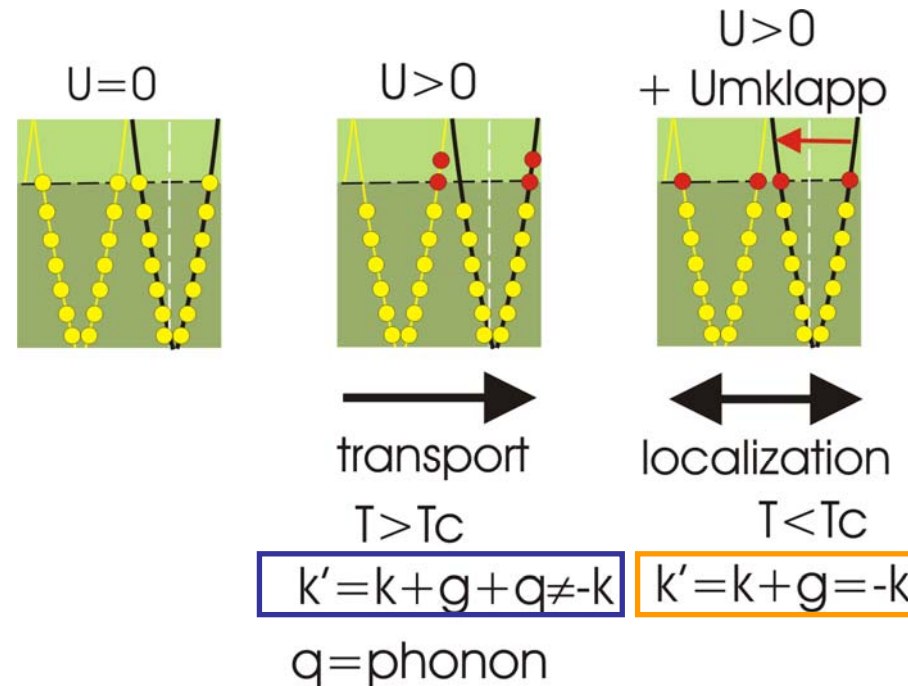
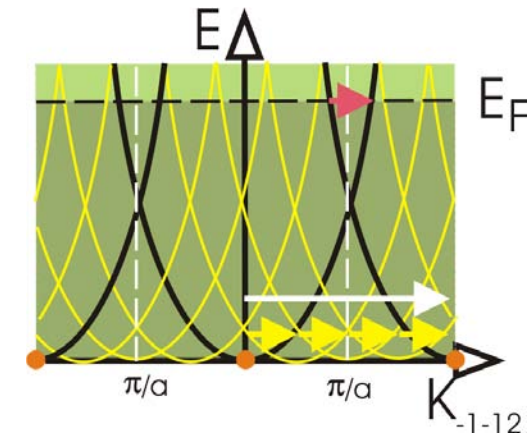
Conductivity experiment:

$T < T_c$:
insulating across wires
metallic along wires

STM: order-disorder transition

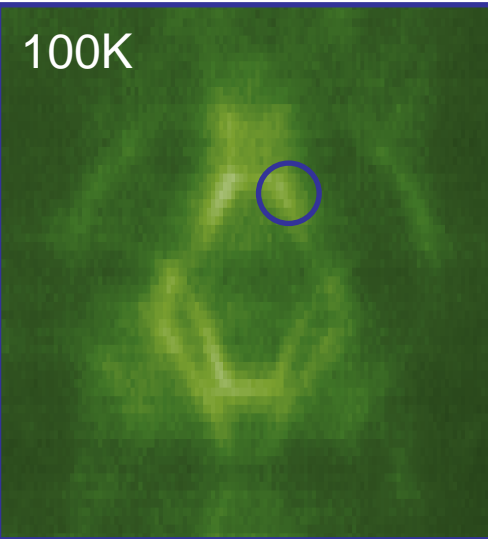
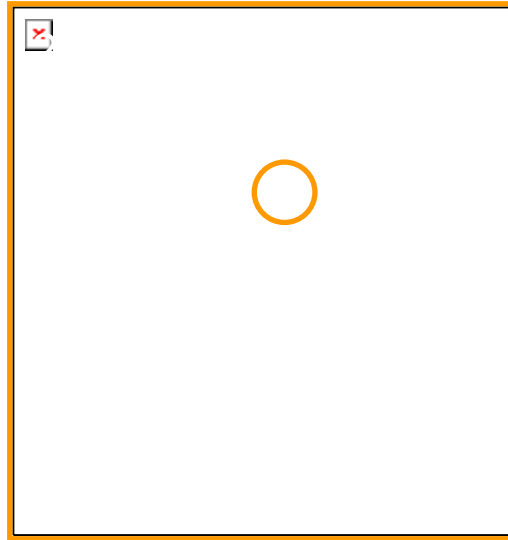


Model:



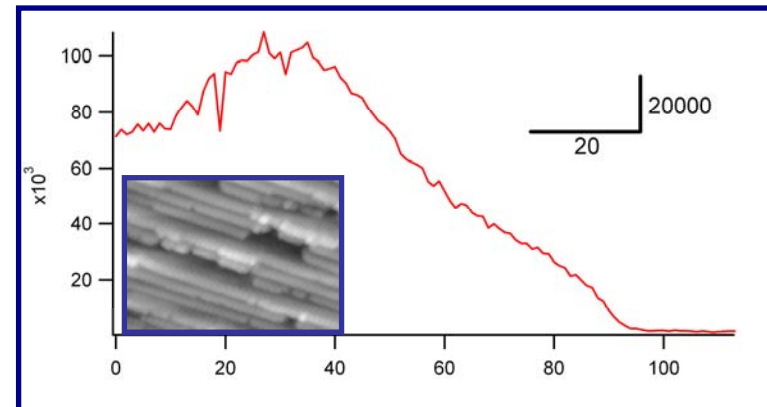
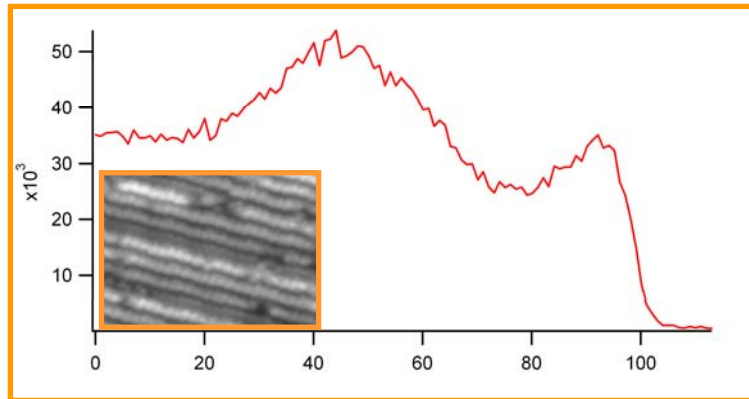
Transition: Complete and incomplete Fermi-nesting

localization
 $T < T_c$
 $k' = k + g = -k$

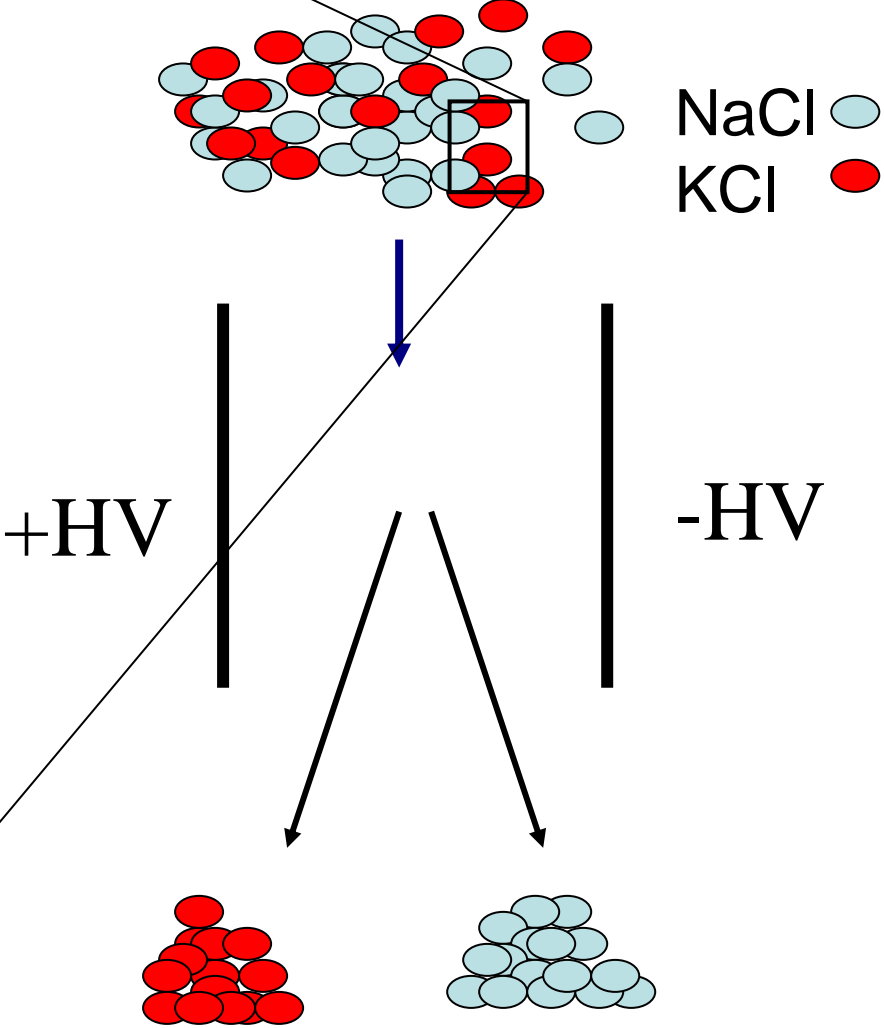
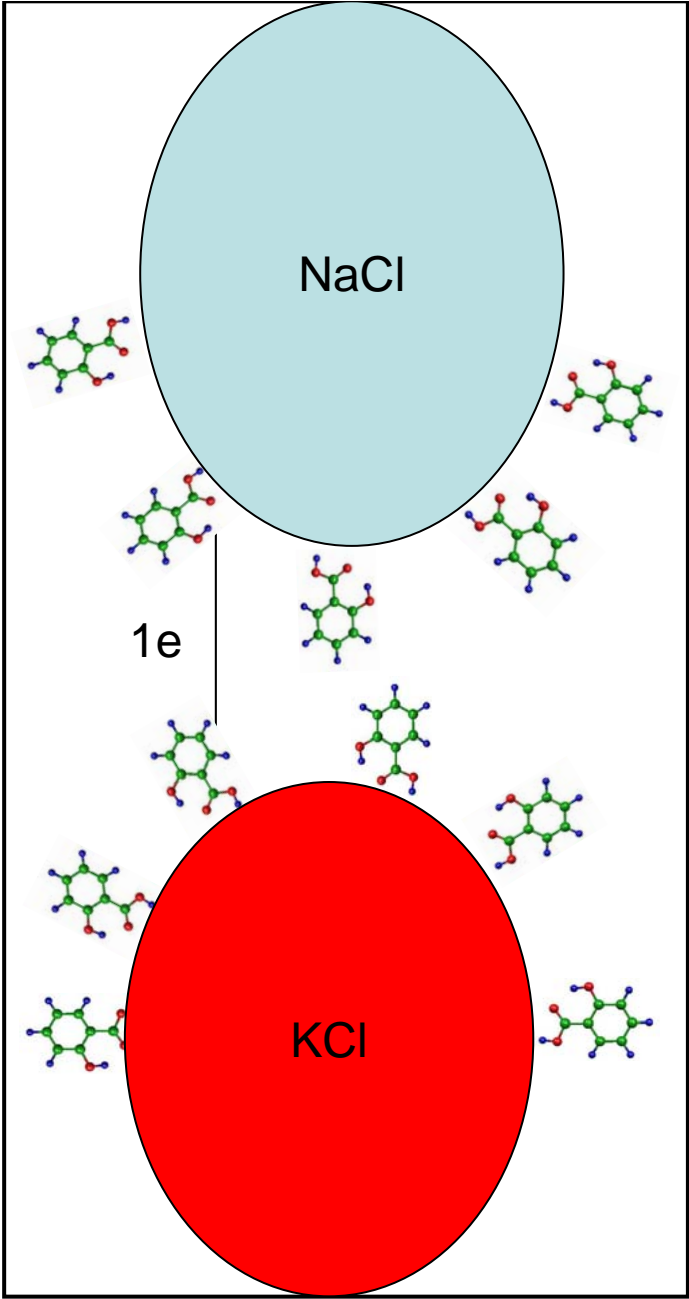


transport
 $T > T_c$
 $k' = k + g + q \neq -k$
 $q = \text{phonon}$

Density of states

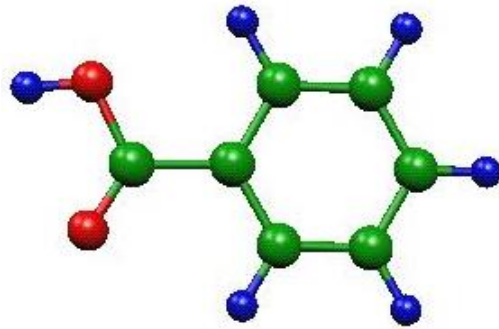


Ladungsübertrag von 1e notwendig
in Gegenwart organischen Molekülen !!

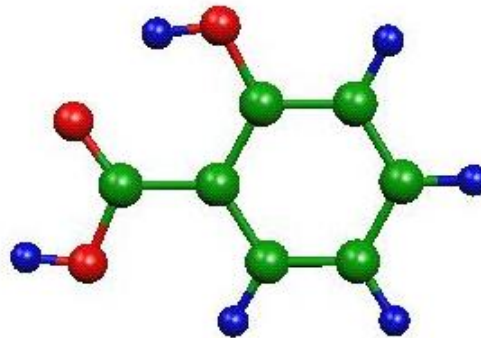
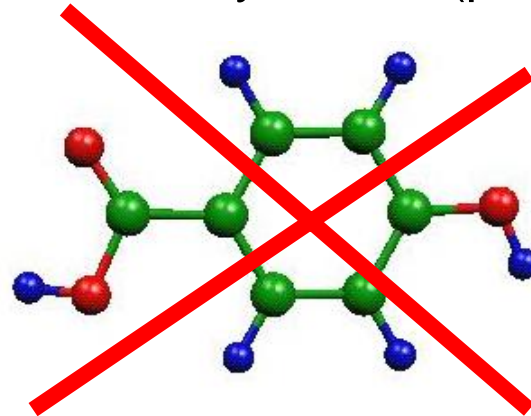


Einfache organische Säuren als Konditionierungsmittel

Benzoessäure (BA)



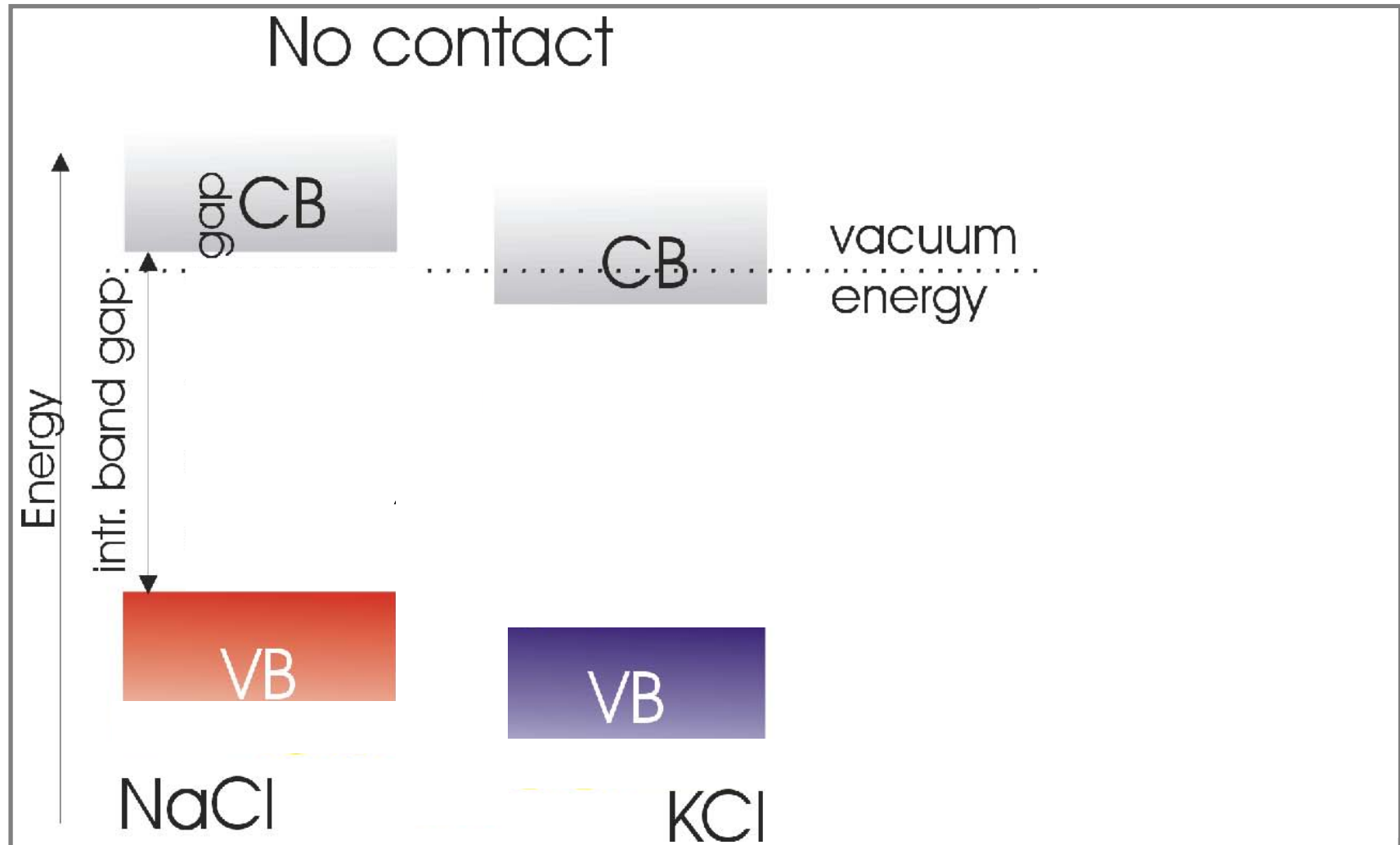
Para-Salicyl-Säure (p-SA)



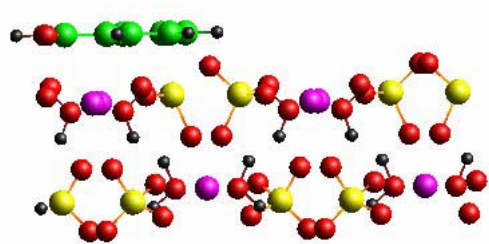
Salicyl-Säure (SA)

SA und p-SA:
Gleiche chemische Zusammen-
setzung !!

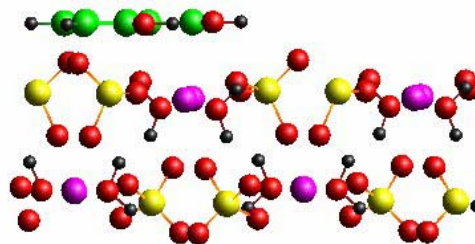
Modell:



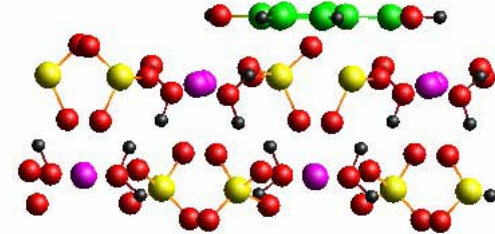
MgSo4: Adsorptionsgeometrien für organische Säuren



benzoic acid



salicylic acid

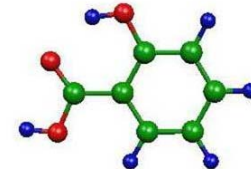


para-salicylic acid

Moleküle gedreht:

Quasi-aromatisches System von SA gestört!

Anderer Mechanismus der Kontaktaufladung:
Obige Säuren inaktiv!



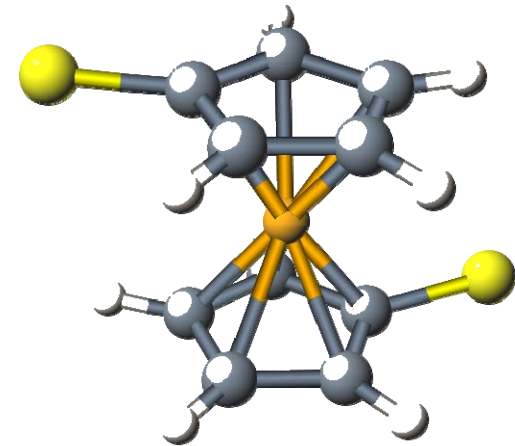
Kontaktierung von Einzelmolekülen

Ferrocen-dithiol

*Rotationsfreiheitgrad der Komplexbindung
(Rechnung: 40meV)*

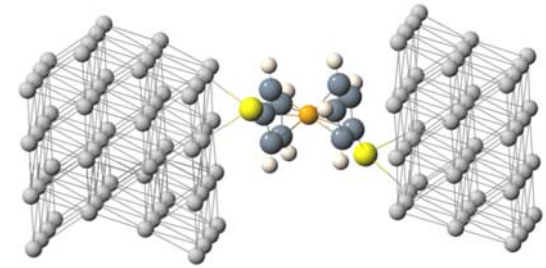
Bindung zum Kontakt über SH,CN,.....

Hohe Leitfähigkeit



AG Butenschön

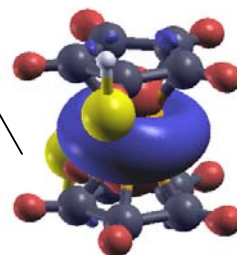
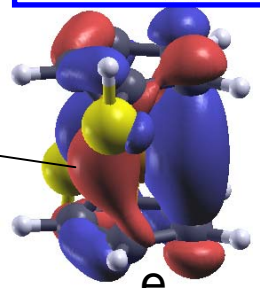
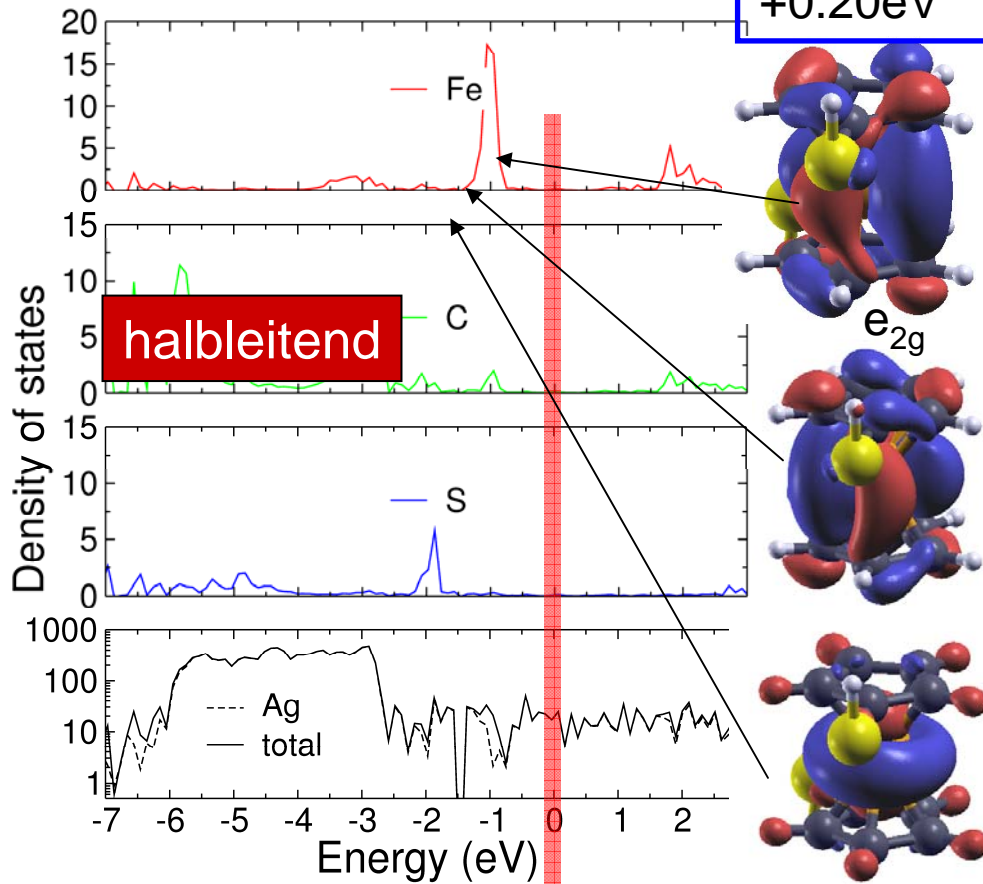
FDT zwischen Ag(111) Kontakten



Thiol gebunden (Ag-SH):

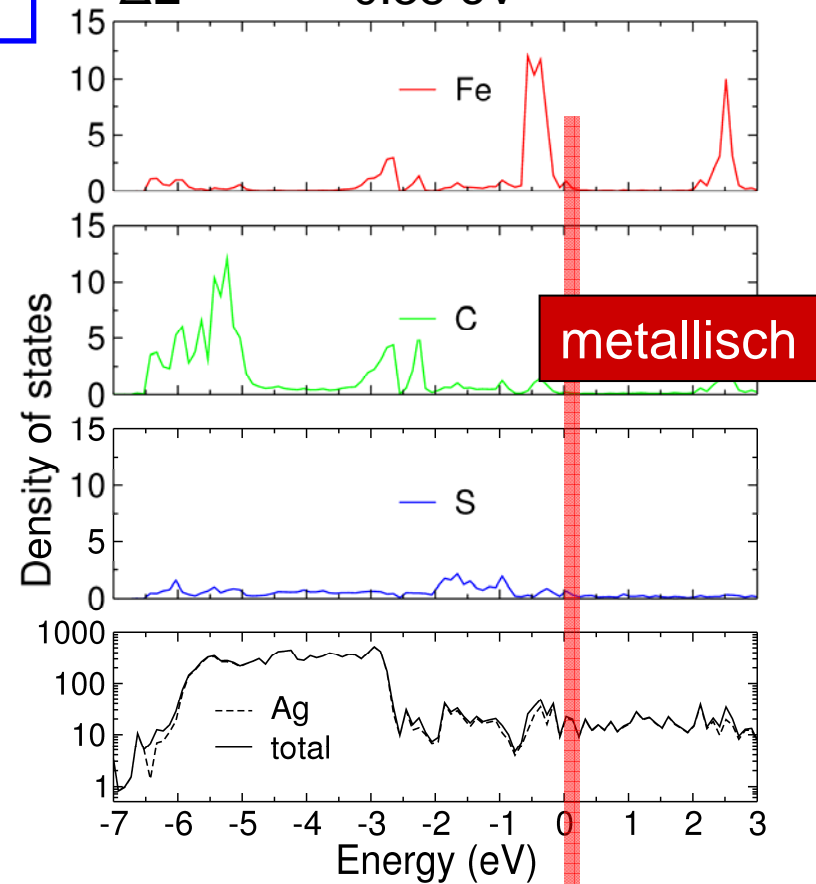
$$\Delta E^{\text{thiol}} = -0.30 \text{ eV}^*$$

$$\Delta E^{\text{thiolate+H}} = +0.20 \text{ eV}$$



Thiolat gebunden (Ag-S):

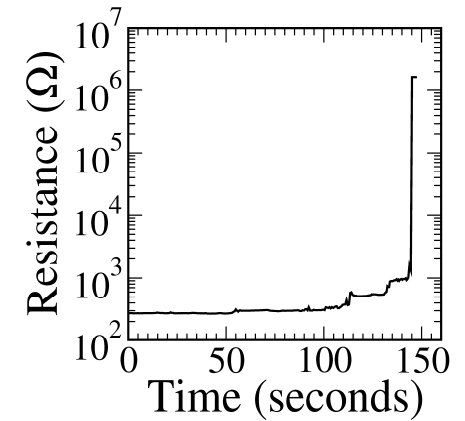
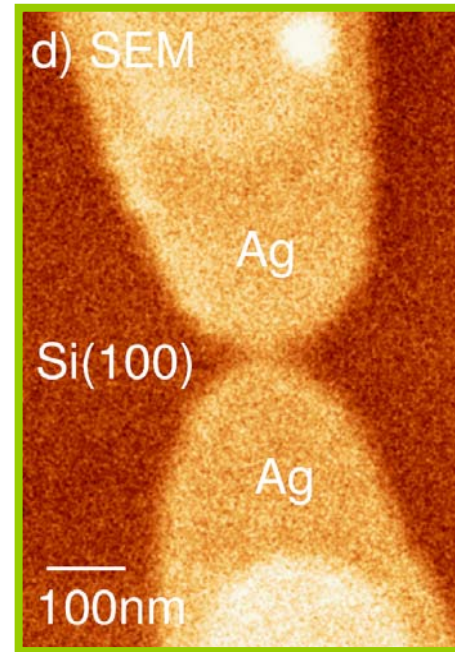
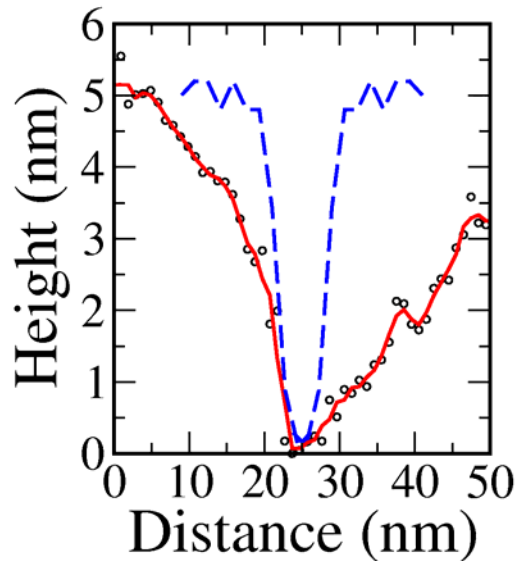
$$\Delta E^{\text{thiolate}} = -0.38 \text{ eV}^*$$



J. Meyer, et.al. J. Chem. Phys. (2006).

Ultradünne Kontakte

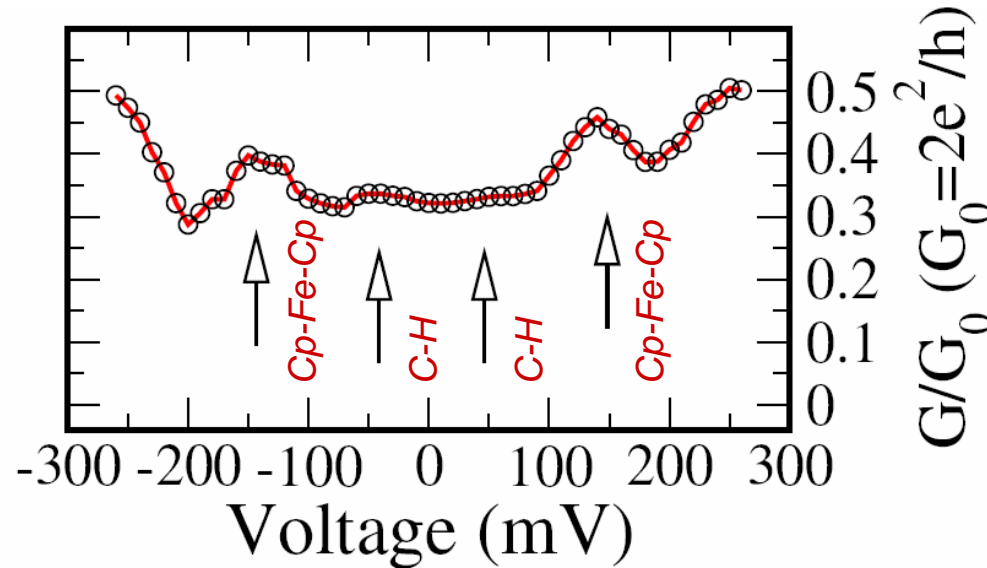
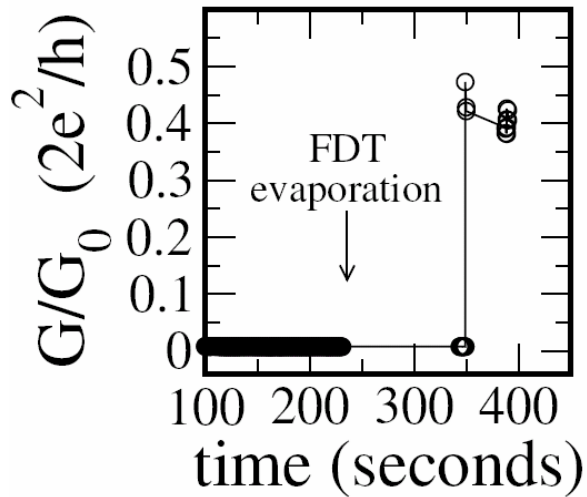
- Optimierte 3D Geometrie
- Herstellung über e-Lithographie
- Epitaktisches System Ag/Si(100)
- Öffnen: Elektromigration bei $T=80\text{K}$
- Schließen des Kontaktes ($T=300\text{K}$)



Öffnen des Kontaktes
Durch Elektromigration

Lücke mit STM-Spitze zugänglich!

Leitfähigkeit eines FDT-Moleküls



FDT induziert

- Kontakt offen: 10^6 Ohm
Kontakt geschlossen: 10^2 Ohm

Leitfähigkeit: $\sim 25 \mu A/V$ ($0.35 G_0$)

- C_{11} : $1.2 nA/V$ (exp. $17 nA/V$)
OPE: $1.7 \mu A/V$
OPV: $2.8 \mu A/V$

Thiolat gebundene Systeme (metallic)

- Dissoziation an Defekten ?

Sub-Struktur:

Molekülresonanzen

(spannungsinduzierte Übergänge)

(Ruitenbeek, PRL 2006)

Transport Rechnungen:

V. Maslyuk, AG I. Mertig, Uni Halle-Wittenberg

Ausblick

- Grenzflächeneigenschaften zunehmend wichtiger
- Quantenbauelemente auch bei Raumtemperatur realisierbar
- Eingang in Alltags-Elektronik?
- Interdisziplinäres Arbeitsgebiet